

ακριθώς τιμή $z \in R_z$ τότε η απεικόνιση $R_z \rightarrow R_w$ είναι αμφιμονότιμη. Συνεπώς, θα υπάρχει επίσης μια αμφιμονότιμη αντιστοιχία μεταξύ των καμπύλων του R_z ,

$$x = x(t), \quad y = y(t) \quad (\text{ή} \quad z = z(t)),$$

και των εικόνων των στο R_w ,

$$u = u(t), \quad v = v(t) \quad (\text{ή} \quad w = w(t)).$$

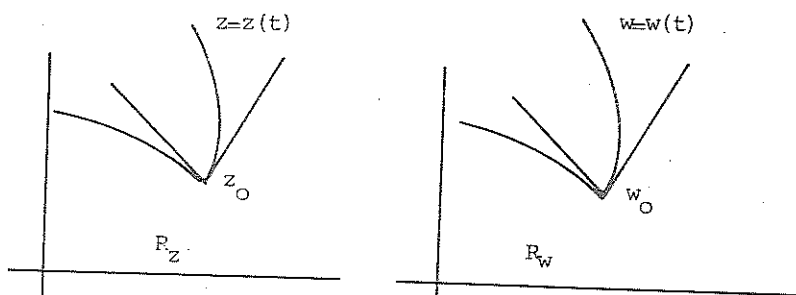
Αν κάθε ζευγάρι καμπύλων στο R_z που τέμονται κατά γωνία θ αντιστοιχεί σε ένα ζευγάρι καμπύλων του R_w που τέμονται κατά την αυτή γωνία θ , η απεικόνιση w καλείται *ισογώνια* στον R_z . Αν, επιπλέον, η φορά των γωνιών διατηρείται, η απεικόνιση w καλείται *σύμμορφη* στον R_z .

Θα αποδείξουμε το παρακάτω βασικό θεώρημα:

ΘΕΩΡΗΜΑ 1

Έστω ότι η συνάρτηση $w=f(z)$ είναι αναλυτική στον τόπο R_z και αμφιμονότιμη από τον R_z στον τόπο R_w . Τότε, αν $f'(z) \neq 0$ στον R_z , η w είναι σύμμορφη στον R_z .

Απόδειξη. Έστω ότι η διαφορίσιμη καμπύλη $z=z(t)$ που διέρχεται



Σχ. 1

από το σημείο $z_0 \in R_z$, απεικονίζεται στην καμπύλη $w=w(t)$ η οποία διέρχεται από το σημείο $w_0 \in R_w$. Τα εφαπτόμενα διανύσματα των καμπύλων αυτών έχουν συντεταγμένες

$$\left(\frac{dx}{dt}, \frac{dy}{dt} \right), \quad \left(\frac{du}{dt}, \frac{dv}{dt} \right).$$

Σε μιγαδική μορφή τα παραπάνω διανύσματα γράφονται ως

$$\frac{dz}{dt} = \frac{dy}{dt} + i \frac{dy}{dt}, \quad \frac{dw}{dt} = \frac{du}{dt} + i \frac{dv}{dt}.$$

Ισχύει,

$$\frac{dw}{dt} = \frac{dw}{dz} \frac{dz}{dt},$$

συνεπώς, αν στο σημείο z_0 εκφράσουμε τις $\frac{dw}{dz}$ και $\frac{dz}{dt}$ σε πολική μορφή,

$$\frac{dw}{dz} = ae^{i\theta} \quad (a \neq 0), \quad \frac{dz}{dt} = re^{i\phi},$$

έχουμε στο αντίστοιχο σημείο w_0 :

$$\frac{dw}{dt} = are^{i(\phi+\theta)}.$$

Συνεπώς, η απεικόνιση πολλαπλασιάζει τα εφαπτόμενα διανύσματα στο z_0 επί $a = |f'(z)|$ και περιστρέφει αυτά κατά την αυτή γωνία θ . Έτσι η γωνία μεταξύ δύο εφαπτόμενων διανυσμάτων στο z_0 (Σχ. 1) διατηρείται κατά μέγεθος και φορά και ο πολλαπλασιαστικός παράγοντας $|f'(z)|$ είναι ανεξάρτητος των διευθύνσεων αυτών.

Ένα απειροστό καμπυλόγραμμο τρίγωνο με κορυφή το z_0 απεικονίζεται σ' ένα όμοιο τρίγωνο με κορυφή το w_0 , διότι οι γωνίες των τριγώνων θα είναι ίσες και οι πλευρές τους ανάλογες. Αλλά, ενώ, η απεικόνιση είναι τοπικώς σύμμορφη, οι αντίστοιχοι τόποι δεν είναι αναγκαστικώς όμοιοι «εν εκτάσει», εφόσον ο πολλαπλασιαστικός παράγοντας ποικίλει από σημείο σε σημείο.

Χωρίς απόδειξη αναφέρουμε το παρακάτω επίσης βασικό θεώρημα.

ΘΕΩΡΗΜΑ 2

Αν η απεικόνιση $w=f(z)=u(x, y)+iv(x, y)$ είναι σύμμορφη σ' έναν τόπο R , η συνάρτηση $f(z)=u+iv$ είναι αναλυτική στον R .

ΠΑΡΑΔΕΙΓΜΑ 1 (Στροφή - Ομοθεσία)

Αν $ae^{i\theta} \neq 0$ είναι μιγαδική σταθερή σε πολική μορφή, τότε η

$$w = ae^{i\theta} z, \quad (a, \theta \text{ πραγματικοί})$$

απεικονίζει ολόκληρο το z -επίπεδο συμμόρφως πάνω στο w -επίπεδο, εφόσον $\frac{dw}{dz} \neq 0$. Αν

$$z = re^{i\phi}, \quad w = Re^{i\Phi},$$

μη.
των

α θ
την
επι-
σύμ-

z και
 R_z , η

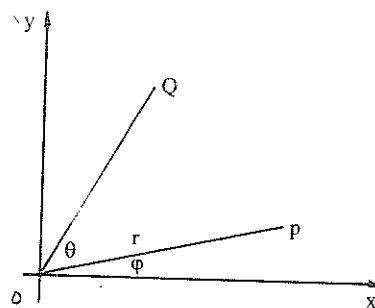
χεταί

οποία
ν καμ-

η w είναι ισοδύναμη των

$$R = ar, \quad \Phi = \theta + \phi.$$

Έτσι, αν το w -επίπεδο τεθεί πάνω στο z -επίπεδο, ώστε οι άξονες να συμπίπτουν, οποιοδήποτε σημείο $P \neq 0$ απεικονίζεται σ' ένα σημείο Q , όπως στο παρακάτω Σχ. 2.



Σχ. 2

Όταν $a=1$, έχουμε απλή στροφή $w=e^{i\theta}z$, όταν $\theta=0$ έχουμε απλή ομοθεσία $w=az$.

ΠΑΡΑΔΕΙΓΜΑ 2 (Παράλληλη μεταφορά).

Η συνάρτηση $w = z + be^{i\beta}$ απεικονίζει το z -επίπεδο συμμόρφως πάνω στο w -επίπεδο και αντιστοιχεί σε κάθε σημείο z την αυτή διανυσματική μετατόπιση $be^{i\beta}$. Άρα από το Παράδειγμα 1,

$$w = ae^{i\theta}z + be^{i\beta},$$

είναι μια σύμμορφη απεικόνιση που παράγεται με μια στροφή θ , μια ομοθεσία a , και μια παράλληλη μεταφορά $be^{i\beta}$. Συνεπώς, αν a και b είναι μιγαδικοί αριθμοί, η

$$w = az + b,$$

είναι μια στροφή - ομοθεσία και μια παράλληλη μεταφορά.

ΠΑΡΑΔΕΙΓΜΑ 3 (Αντιστροφή)

Η συνάρτηση $w = \frac{1}{z}$, απεικονίζει το z -επίπεδο συμμόρφως πάνω στο w -επίπεδο εκτός από μια περιοχή του σημείου $z=0$, όπου η dw/dz δεν υπάρχει. Θέτοντας

$$z = re^{i\varphi}, \quad w = Re^{i\Phi},$$

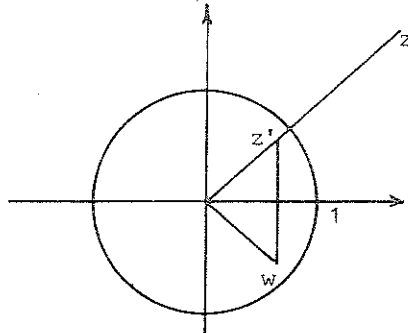
έχουμε

$$\operatorname{Re}^{i\Phi} = e^{-i\phi}/r.$$

Άρα,

$$R = 1/r, \quad \Phi = -\phi.$$

Έτσι το σημείο $z \neq 0$ απεικονίζεται στο σημείο $w = e^{-i\phi}/r$, όπως στο Σχ. 3, όπου $z' = e^{i\phi}/r$.



Σχ. 3

Η απεικόνιση $w = 1/z$ είναι συνδυασμός ενός κατοπτρισμού πάνω στον κύκλο $|z|=1$ και στη συνέχεια κατοπτρισμός πάνω στον πραγματικό άξονα Ox . Επειδή ο κατοπτρισμός είναι ισογώνιος μετασχηματισμός, ο οποίος αντιστρέφει τη φορά των γωνιών το αποτέλεσμά τους θα είναι σύμμορφη απεικόνιση.

Η εξίσωση οποιουδήποτε κύκλου στο z -επίπεδο (παραγ. 3) μπορεί να γραφεί

$$z\bar{z} - \bar{c}z - c\bar{z} + k = 0 \quad (k \text{ πραγματικός}).$$

Αν $k=0$, ο κύκλος αυτός διέρχεται από την αρχή. Ο μετασχηματισμός $w = 1/z$ απεικονίζει τον κύκλο σε έναν άλλο κύκλο

$$1 - \bar{c}\bar{w} - cw + kw\bar{w} = 0 \quad \text{av } k \neq 0$$

ή σε ευθεία γραμμή, αν $k=0$. Επομένως η $w = 1/z$ απεικονίζει κύκλους σε κύκλους, εκτός από εκείνους οι οποίοι διέρχονται από την αρχή και οι οποίοι απεικονίζονται σε ευθείες γραμμές. Ο μοναδιαίος κύκλος, $|z|=1$, απεικονίζεται στον εαυτό του.

ΠΑΡΑΔΕΙΓΜΑ 4 (Ρητός γραμμικός μετασχηματισμός)

Έστω

ξονες να
μείο Q,

ομε απλή

δρφως πά-
διανυσμα-

φή θ, μια
ν α και b

ρφως πάνω
ν η dw/dz

$$w = \frac{az+b}{cz+d}, \quad D = \begin{vmatrix} a & b \\ c & d \end{vmatrix} \neq 0, \quad (a, b, c, d \text{ μιγαδικοί}).$$

Η w είναι σύμμορφη εκτός από μια περιοχή του σημείου $z = -d/c$, επειδή

$$\frac{dw}{dz} = \frac{D}{(cz+d)^2} \neq 0, \quad \forall z \neq -\frac{d}{c}.$$

Αν, $c \neq 0$,

$$w = \frac{a}{c} - \frac{D/c^2}{z + d/c}$$

και άρα η w είναι συνδυασμός των

$$z_1 = z + \frac{d}{c}, \quad z_2 = \frac{1}{z_1}, \quad z_3 = -\frac{D}{c^2} z_2, \quad w = \frac{a}{c} + z_3,$$

δηλαδή μιας παράλληλης μεταφοράς, μιας αντιστροφής, μιας στροφής-ομοθεσίας και πάλι μιας παράλληλης μεταφοράς.

Παρατηρήσεις:

- α) Σημειωτέον, οι αναφερόμενες απεικονίσεις στα Παραδείγματα 1, 2, 3 και 4 καλούνται ομογραφικοί μετασχηματισμοί.
- β) Ένα σημείο z_0 ενός ομογραφικού μετασχηματισμού w λέγεται σταθερό αν $w(z_0) = z_0$.
- γ) Εύκολα αποδεικνύεται ότι το σύνολο των ομογραφικών μετασχηματισμών με πράξη σύνθεσης το γινόμενο αυτών (σύνθεση αυτών) αποτελεί μη αθελιανή ομάδα, με μοναδιαίο στοιχείο τον ταυτοτικό μετασχηματισμό και αντίστροφο στοιχείο του $w=f(z)$, το $f^{-1}(z)=\frac{dz-b}{-cz+a}$.

Από το Παράδειγμα 4 της παραγράφου 5 έπειται ότι οι ομογραφικοί μετασχηματισμοί $w = \frac{az+b}{cz+d}$, $ad-bc \neq 0$, $cz+d \neq 0$, είναι σύμμορφες απεικονίσεις, που απεικονίζουν κύκλους του z -επιπέδου σε κύκλους του w -επιπέδου, όπου στους κύκλους περιλαμβάνονται και κύκλοι με άπειρη ακτίνα που είναι ευθείες γραμμές. Ισχύει, επίσης, το επόμενο θεώρημα.

ΘΕΩΡΗΜΑ 3

Όταν δοθεύν τρία διακεκριμένα σημεία z_1, z_2, z_3 του z -επιπέδου, και τρία διακεκριμένα σημεία w_1, w_2, w_3 του w -επιπέδου υπάρχει μονάχα ένας ομογραφικός μετασχηματισμός, που απεικονίζει τα z_1, z_2, z_3 στα w_1, w_2, w_3 αντιστοίχως.

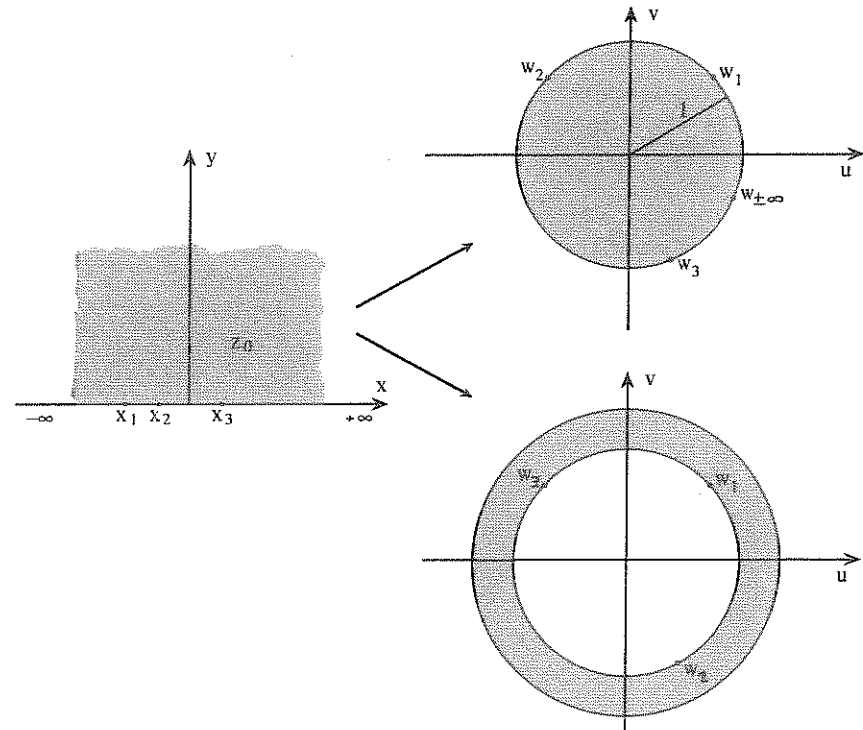
Απόδειξη. Αρκεί να παρατηρήσουμε ότι $\frac{az+b}{cz+d} = \frac{a}{c} \left(z + \frac{b}{c} \right) : \left(z + \frac{d}{c} \right)$, οπότε χρειαζόμαστε μόνο τρεις σταθερές για να τον προσδιορίσουμε. Είναι εύκολο να δούμε ότι ο ομογραφικός αυτός μετασχηματισμός είναι ο $w(z)$, όπου

$$\frac{w-w_1}{w-w_2} \cdot \frac{w_3-w_2}{w_3-w_1} = \frac{z-z_1}{z-z_2} \cdot \frac{z_3-z_2}{z_3-z_1}.$$

Άς σημειωθεί ότι στα z_i , $i=1, 2, 3$, w_i , $i=1, 2, 3$ μπορεί να περιλαμβάνονται και το 0 και ∞ .

Δύο αξιοσημείωτοι ομογραφικοί μετασχηματισμοί είναι:

A. Ο ομογραφικός μετασχηματισμός $w = e^{i\theta_0} \frac{z - z_0}{z - \bar{z}_0}$, $\theta_0 = \text{σταθ.}$, $z_0 = \text{σταθ.}$, σημείο του άνω ημιεπιπέδου, που απεικονίζει το άνω ημιεπίπεδο πάνω στο μοναδιαίο κύκλο και αντιστρόφως (Σχ. 4). Κάθε σημείο του



Σχήμα 4

, επειδή

στροφής-

τα 1, 2, 3

εται στα-

ισχηματι-

ν) αποτε-

ικό μετα-

$= \frac{dz-b}{-cz+a}$

ογραφικοί

τύμμορφες

κλους του

με άπειρη

θεώρημα.

z-επιπέδου,

ιρχει μονά-

z_2, z_3 στα

άξονα των x απεικονίζεται πάνω στον κύκλο. Τρία σημεία $z_1=x_1$, $z_2=x_2$, $z_3=x_3$, $x_1 < x_2 < x_3$, απεικονίζονται κάτα τη θετική κυκλική φορά πάνω στον μοναδιαίο κύκλο. Αν συμβεί το αντίθετο, τότε το άνω ημιεπίπεδο απεικονίζεται στο εξωτερικό μέρος του μοναδιαίου κύκλου, αλλά τότε το z_0 κείται στο κάτω ημιεπίπεδο. Η σταθερή θ_0 μπορεί να οριστεί έτσι ώστε να απεικονίζεται ένα συγκεκριμένο σημείο του άξονα των x σ' ένα δοσμένο σημείο του κύκλου. Τα σημεία $\pm\infty$ του άξονα x απεικονίζονται στο αυτό σημείο $w_{\pm\infty}$ του κύκλου.

Β. Ο ομογραφικός μετασχηματισμός που απεικονίζει το άνω ημιεπίπεδο στο άνω ημιεπίπεδο. Προς τούτο, αρκεί να ορίσουμε εκείνο τον ομογραφικό μετασχηματισμό, που απεικονίζει τρία κατά τάξη μεγέθους σημεία $x_1 < x_2 < x_3$ του άξονα x του z -επιπέδου, σε τρία κατά τάξη μεγέθους σημεία $w_1 < w_2 < w_3$ του άξονα w του w -επιπέδου, αντιστοίχως. Αν συμβεί το αντίθετο, τότε το επάνω ημιεπίπεδο απεικονίζεται στο κάτω ημιεπίπεδο. Υπάρχει ένα θεώρημα που δίνει έναν τύπο (τύπος των Schwarz-Christoffel) βάσει του οποίου βρίσκουμε μια σύμμορφη απεικόνιση, που απεικονίζει οποιοδήποτε κλειστό ή ανοικτό πολύγωνο του w -επιπέδου στο άνω ημιεπίπεδο του z -επιπέδου.

ΠΑΡΑΔΕΙΓΜΑ 5

Να βρεθεί ο ομογραφικός μετασχηματισμός που απεικονίζει τα σημεία 1, 2, 3 του z -επιπέδου στα 0, ∞ και 1 του w -επιπέδου.

Άστη. Έστω $w = \frac{az+b}{cz+d}$ ο μετασχηματισμός που ζητάμε. Θα ισχύουν οι σχέσεις

$$0 = \frac{a+b}{c+d}$$

$$\infty = \frac{2a+b}{2c+d}$$

$$1 = \frac{3a+b}{3c+d}$$

οπότε, $a=1$, $b=-1$, $c=2$, $d=-3$, δηλαδή

$$w = \frac{z-1}{2z-4}.$$

ΠΑΡΑΔΕΙΓΜΑ 6

Έστω ο ομογραφικός μετασχηματισμός

$$w = \frac{z-1}{z-2}.$$

Να βρεθεί η εικόνα (a) του κύκλου $|z+1|=1$, (b) του κύκλου $|z+1|=3$ και (c) της ευθείας $|z-1|=|z-2|$.

Άνση: Πρώτα θρίσκουμε τον αντίστροφο μετασχηματισμό του w ,

$$z = \frac{2w-1}{w-1}.$$

(a) Η εικόνα του κύκλου $|z+1|=1$ είναι η

$$\left| \frac{2w-1}{w-1} + 1 \right| = 1 \quad \text{ή} \quad |3w-2| = |w-1|,$$

δηλαδή ο κύκλος με κέντρο $(5/8, 0)$ και ακτίνα $1/8$.

(b) Ομοίως η εικόνα του κύκλου $|z+1|=3$, είναι η

$$\left| \frac{2w-1}{w-1} + 1 \right| = 3 \quad \text{ή} \quad |3w-2| = |3w-3|,$$

που είναι η μεσοκάθετη που ενώνει το $2/3$ με το 1 , δηλαδή η ευθεία $w = \frac{5}{6}$.

(c) Και ομοίως η εικόνα της ευθείας $|z-1|=|z-2|$ είναι η

$$\left| \frac{2w-1}{w-1} - 1 \right| = \left| \frac{2w-1}{w-1} - 2 \right| \quad \text{ή} \quad |w| = 1,$$

δηλαδή ο μοναδιαίος κύκλος.

ΠΑΡΑΔΕΙΓΜΑ 7

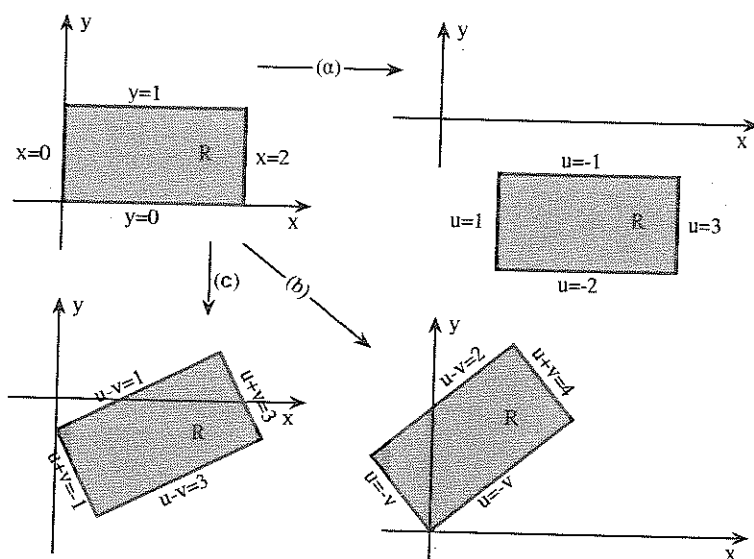
Έστω ο τόπος R που περικλείεται από τις ευθείες $x=0$, $y=0$, $x=2$, $y=1$. Να βρεθεί η εικόνα του R με τους μετασχηματισμούς,

$$(a) w = z+(1-2i), \quad (b) w = \sqrt{2} e^{\pi i/4} z, \quad (c) w = \sqrt{2} e^{\pi i/4} z+(1-2i).$$

Άνση. (a) Ο πρώτος μετασχηματισμός είναι παράλληλη μεταφορά κατά $1-2i$. Επειδή κατά τη μεταφορά οι ευθείες παραμένουν ευθείες, αρκεί να βρούμε τις εικόνες των σημείων $(0, 0)$, $(2, 0)$, $(2, 1)$ και $(0, 1)$.

Από τον αντίστροφο μετασχηματισμό, $z = w+(2i-1)$, θέτοντας $z_1=0$, $z_2=2$, $z_3=2+i$, $z_4=i$, θρίσκουμε, $w_1=1-2i$, $w_2=3-2i$, $w_3=3-i$, $w_4=1-i$. ($\Sigma\chi.$ 12).

Με τους μετασχηματισμούς (b) και (c), που είναι στροφή-ομοθεσία και στροφή-ομοθεσία, μεταφορά αντιστοίχως, εργαζόμαστε όμοια. (Σχ. 5).



Σχ. 5

Δίνουμε, παρακάτω, δύο εφαρμογές των ομογραφικών μετασχηματισμών στη σχεδίαση των ηλεκτρικών κυκλωμάτων.

a) Στη θεωρία των ηλεκτρικών κυκλωμάτων η εμπέδηση ή σύνθετη αντίσταση Z , που προέρχεται από ωμική αντίσταση R και αυτεπαγωγή L σε παράλληλη διάταξη, δίνεται από τη σχέση

$$\frac{1}{Z} = \frac{1}{R} + \frac{1}{j\omega L} = \frac{1}{R} - \frac{j}{\omega L} \quad (1)$$

όπου ω είναι η κυκλική συχνότητα και $j^2 = -1$. Από τη σχέση αυτή έχουμε $w = \frac{1}{Z} = u+jv = \frac{1}{R} + \frac{1}{j\omega L}$. Ας θεωρήσουμε ότι μεταβάλλεται μόνο η L , από 0 έως ∞ . Τότε η σύνθετη αγωγιμότητα w στο w -επίπεδο παριστάνεται από την ημιευθεία (ϵ) $u = \frac{1}{R}$ (παρακάτω σχήμα (a)). Ζητούμε να δούμε ποιά είναι η εικόνα αυτής μέσω της αντιστροφής $Z = \frac{1}{w}$, δηλαδή ποιά είναι η εμπέδηση Z . Τέτοιες γραφικές παραστάσεις χρησιμοποιούνται συχνά στη σχεδίαση ηλεκτρικών κυκλωμάτων.

Α
η
ημιευθεία
Δηλαδή
θρούμε
και (3)
χεί στην
αντίσταση

Για Λ
σημείο
(παρα-

β)

συνθετική
επαγωγή

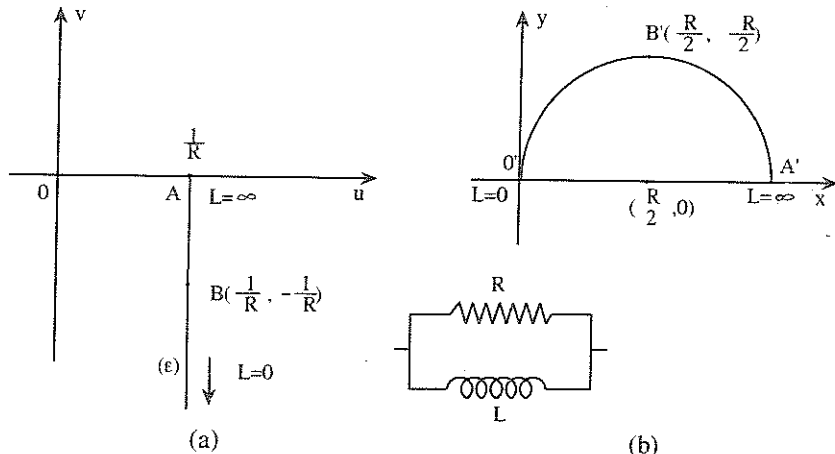
Από τη σχέση (1) έχουμε

$$\begin{aligned} Z = x + jy &= \frac{R\omega L}{\omega L - jR} = \frac{R\omega^2 L^2}{R^2 + \omega^2 L^2} + j \frac{R^2 \omega L}{R^2 + \omega^2 L^2} \\ \text{ή} \\ x &= \frac{R\omega^2 L^2}{R^2 + \omega^2 L^2} \quad (2), \quad y = \frac{R^2 \omega L}{R^2 + \omega^2 L^2} \quad (3). \end{aligned}$$

Θεωρούμε ολόκληρη την ευθεία $u = \frac{1}{R}$ πάνω στην οποία κείται η ημιευθεία (ε). Έχουμε

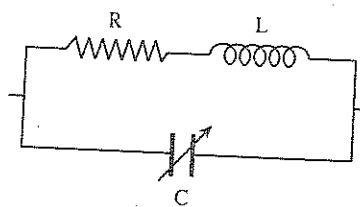
$$\begin{aligned} 2u = w + \bar{w} &= \frac{2}{R} \quad \text{ή} \quad \frac{1}{Z} + \frac{1}{\bar{Z}} = \frac{2}{R} \quad \text{ή} \quad 2Z\bar{Z} = R(Z + \bar{Z}) \\ \text{ή} \quad |Z|^2 &= x^2 + y^2 = Rx \quad \text{ή} \quad \left(x - \frac{R}{2}\right)^2 + y^2 = \frac{R^2}{4}. \end{aligned}$$

Δηλαδή ο κύκλος αυτός έχει εικόνα ολόκληρη την ευθεία $u = \frac{1}{R}$. Για να θρούμε την εικόνα της ημιευθείας (ε) χρησιμοποιούμε τις σχέσεις (2) και (3). Για $L = \infty$, $\lim x = R$ και $\lim y = 0$. Δηλαδή, το σημείο A αντιστοιχεί στο A'. Για $L = 0$, έχουμε $x = y = 0$ και το επάπειρο σημείο της (ε) αντιστοιχεί στο 0'.



(a). Ζητούμε $Z = \frac{1}{w}$, ι.e. $Z = \frac{R}{\omega}$, για $L = \frac{R}{\omega}$, $x = \frac{R}{2}$ και $y = \frac{R}{2}$, δηλαδή στο σημείο B αντιστοιχεί το σημείο B'. Επομένως η ημιευθεία (ε) αντιστοιχεί στο ημικύκλιο $(\frac{R}{2}, 0)$ (παραπάνω σχήματα (a), (b)).

β) Ας θεωρήσουμε τώρα ένα RLC ηλεκτρικό κύκλωμα του παρακάτω



(a)

σχήματος (a), δύναται να θεωρούμε ότι η χωρητικότητα C μεταβάλλεται, ενώ η ομική αντίσταση R και η αυτεπαγωγή L είναι σταθερές. Εστω πηγή εναλλασσόμενης τάσης σταθερής συχνότητας $\omega/2\pi$. Η σύνθετη αντίσταση Z δίνεται από τη σχέση

$$\frac{1}{Z} = \frac{1}{R+j\omega L} + j\omega C. \quad (4)$$

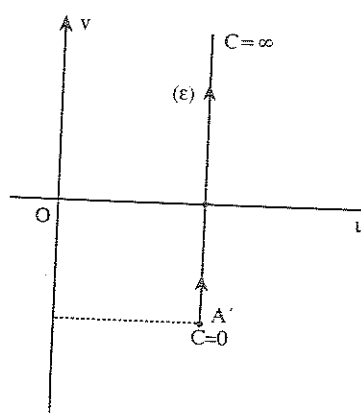
Από την (4)

$$w = u+jv = \frac{1}{Z} = \frac{1}{R+j\omega L} + j\omega C = \frac{R}{R^2+\omega^2L^2} + j\left(\omega C - \frac{\omega L}{R^2+\omega^2L^2}\right).$$

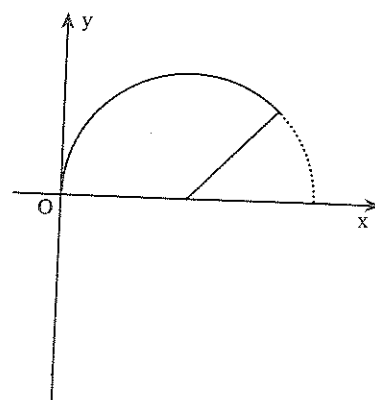
Άρα

$$u = \frac{R}{R^2+\omega^2L^2} \quad (5) \quad v = \frac{\omega C(R^2+\omega^2L^2) - \omega L}{R^2+\omega^2L^2}. \quad (6)$$

Όταν η χωρητικότητα C μεταβάλλεται από 0 έως ∞ , έχουμε την ημιευθεία (ϵ) (παρακάτω σχήμα (b)), διότι για $C=0$ από την (6), έχουμε το σημείο A $\left(\frac{R}{R^2+\omega^2L^2}, \frac{-\omega L}{R^2+\omega^2L^2}\right)$. Για να θρούμε την εικόνα της (ϵ)



(b)



(c)

θρίσκουμε πρώτα την εικόνα όλης της ευθείας $u = \frac{R}{R^2 + \omega^2 L^2}$. Έχουμε από την (5),

$$\begin{aligned} 2u &= w + \bar{w} = \frac{2R}{R^2 + \omega^2 L^2} \quad \text{ή} \quad \frac{1}{Z} + \frac{1}{\bar{Z}} = \frac{2R}{R^2 + \omega^2 L^2} \quad \text{ή} \\ 2Z |Z|^2 &= 2(R^2 + \omega^2 L^2)x \quad \text{ή} \quad x^2 + y^2 = \frac{R^2 + \omega^2 L^2}{R} x \quad \text{ή} \\ (x - \frac{R^2 + \omega^2 L^2}{2R})^2 + y^2 &= \left(\frac{R^2 + \omega^2 L^2}{R}\right)^2. \quad (7) \end{aligned}$$

Άλλά από την (4), για $C=0$, έχουμε $Z = R + j\omega L$, δηλαδή το σημείο A αντιστοιχεί στο σημείο A' με συντεταγμένες $(x, y) = (R, \omega L)$. Για $C=\infty$, έχουμε $\frac{1}{Z} = \infty$ ή $Z=0$, δηλαδή το επάπειρο σημείο της (ε) αντιστοιχεί στο σημείο C' με συντεταγμένες $(0, 0)$. Συνεπώς η ημιευθεία (ε) αντιστοιχεί στο τόξο O'A' του κύκλου (A). (Παραπάνω Σχ. (c)).

6. Φυσικές εφαρμογές των σύμμορφων απεικονίσεων

Πολλά προβλήματα των μηχανικών, όταν εκφραστούν με μαθηματικό τρόπο, οδηγούν σε διαφορικές εξισώσεις με μερικές παραγώγους. Συγχρόνως, στα παραπάνω προβλήματα, δίνονται ορισμένες συνοριακές συνθήκες. Έτσι το πρόβλημα της εύρεσης λύσης μιας εξισωσης με μερικές παραγώγους, που πληρεί και τις συνοριακές συνθήκες, λέγεται πρόβλημα συνοριακών τιμών.

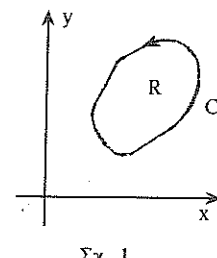
Έχει σημασία από μαθηματική άποψη, αλλά και από φυσική, ν' αποδείξουμε όχι μόνο την ύπαρξη τέτοιων λύσεων αλλά και τη μοναδικότητα.

Γνωρίζουμε ότι μια συνάρτηση που πληρεί την εξισωση του Laplace

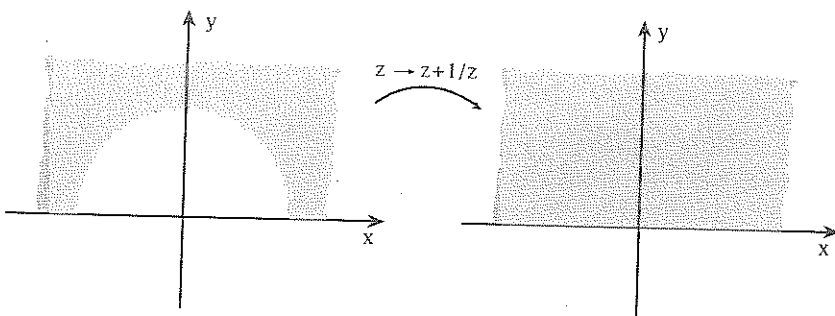
$$\nabla^2 u = \frac{\partial^2 u}{\partial x^2} + \frac{\partial^2 u}{\partial y^2} = 0 \quad (1)$$

σε ένα τόπο R, καλείται αρμονική. Επίσης, αν η $f(z) = u(x, y) + iv(x, y)$ είναι αναλυτική στον R, τότε οι συναρτήσεις u και v είναι αρμονικές και λέγονται συζυγικές αρμονικές.

Εστω R είναι ένας απλός συναφής τόπος που περικλείνεται από μια κλειστή καμπύλη c (Σχ. 1). Θα εξετάσουμε δύο συνοριακά προβλήματα που είναι βασικά για την παρακάτω μελέτη.



Σχ. 1



Σχ. 7

Έτσι αφού $F_0(z) = az$ είναι το μιγαδικό δυναμικό που ζητάμε είναι

$$F(z) = a \left(z + \frac{1}{z} \right).$$

Αν το εκφράσουμε δε σε πολικές συντεταγμένες,

$$\varphi(r, \theta) = a \left(r + \frac{1}{r} \right) \cos \theta, \quad \psi(r, \theta) = a \left(r - \frac{1}{r} \right) \sin \theta \quad (\text{Σχήμα } 6b).$$

Ας σημειωθεί ότι τροποποιώντας λίγο το μετασχηματισμό $f: z \rightarrow z + \frac{1}{z}$, προσθέτοντας όρους ανώτερης τάξεως, το άνω ημικύκλιο μπορεί να αντικατασταθεί με κάτι που μοιάζει περισσότερο με φτερό αεροπλάνου. Οι αντίστοιχοι μετασχηματισμοί σ' αυτή την περίπτωση λέγονται μετασχηματισμοί του Toukowski.

ΠΕΡΙΑΠΨΗ

1. Η αμφιμονότιμη μιγαδική απεικόνιση $f: R_z \rightarrow R_w$ τέτοια ώστε η γωνία κάθε ζευγαριού καμπύλων στον R_z να απεικονίζονται με την f στον τόπο R_w σε ζευγάρι καμπύλων που σχηματίζουν την αυτή γωνία κατά μέγεθος και φορά, λέγεται **σύμμορφη απεικόνιση**.

Ισχύει «Αν η $f(z)$ είναι αναλυτική και $f'(z) \neq 0 \Leftrightarrow f$ σύμμορφη απεικόνιση».

2. Χαρακτηριστικές σύμμορφες απεικονίσεις είναι:

- (i) Στροφή-Ομοθεσία: $w = ae^{i\theta}z$
- (ii) Παράλληλη μεταφορά: $w = z + be^{i\beta}$

$$(iii) \text{ Αντιστροφή: } w = \frac{1}{z}$$

$$(iv) \text{ Ρητός μετασχηματισμός: } w = \frac{az+b}{cz+d}, \quad \begin{vmatrix} a & b \\ c & d \end{vmatrix} \neq 0.$$

3. Ισχύει «Υπάρχει μονάχα ένας ομογραφικός μετασχηματισμός που απεικονίζει τρία διακεκριμένα σημεία σε τρία άλλα σημεία».

4. Έστω Z η εμπέδηση σε RL ηλεκτρικό κύκλωμα σε παράλληλη διατάξη. Τότε

$$w = u+jv = \frac{1}{Z} = \frac{1}{R} - \frac{1}{\omega L} j, \quad (1)$$

δηλαδή η Z είναι μιγαδικός αριθμός. Αποδεικνύεται ότι η εικόνα της ημιευθείας $u = \frac{1}{R}$ μέσω της αντιστροφής (1) είναι το πάνω ημικύκλιο

$$\left(x - \frac{R}{2} \right)^2 + y^2 = \frac{R^2}{4}.$$

Ανάλογη θεωρία υπάρχει και για ένα RLC ηλεκτρικό κύκλωμα.

5. Η λύση επίσης ορισμένων συνοριακών προβλημάτων, διάδοσης θερμότητας, Ηλεκτροστατικής και Υδροδυναμικής επιτυγχάνεται με τη θεωρία των συμμόρφων απεικονίσεων.

Ασκήσεις

1. Να βρεθεί ο ομογραφικός μετασχηματισμός που απεικονίζει τα σημεία $z_1=2$, $z_2=i$, $z_3=-2$ στα σημεία $w_1=1$, $w_2=i$, $w_3=-1$.

(Απάν. $w = (3z+2i):(iz+6)$)

2. Να βρεθεί ο ομογραφικός μετασχηματισμός, που απεικονίζει τα σημεία $z_1=0$, $z_2=-i$, $z_3=-1$, στα σημεία $w_1=i$, $w_2=1$, $w_3=0$.

(Απάν. $w = -i(z+1):(z-1)$)

3. Να βρεθεί ο ομογραφικός μετασχηματισμός που απεικονίζει το 0 στο $-i$ και αφήνει σταθερά τα σημεία -1 και 1 .

(Απάντ. $w = (z-i):(-iz+1)$)

4. Να βρεθεί ο ομογραφικός μετασχηματισμός που απεικονίζει τα 0, ∞ , 2 στα 1, 3, ∞ .

(Απάν. $w = (3z-2):(z-2)$)

5. Να θρεψει η εικόνα της αυθεσις $y=1$ με τον μετασχηματισμό $w(z) = \frac{z-i}{-iz+1}$.
 $(\text{Απάν. } u^2 + \left(0 - \frac{1}{2}\right)^2 = \frac{1}{4})$

6. (a) Βρείτε τον ομογραφικό μετασχηματισμό που αφήνει σταθερά τα σημεία 1 και -1 . (b) Ομοιοτος εκείνου που αφήνει σταθερά τα i και $-i$.
 $(\text{Απάν. (a) } w = \frac{az+1}{z+a}, \quad (\text{b) } w = \frac{az-i}{z+i})$

7. Δείξτε ότι ο μετασχηματισμός, $w = \frac{z-z_0}{z_0 z-1}$, $|z_0| < 1$, απεικονίζει το μοναδιαίο κύκλο στο μοναδιαίο κύκλο.

8. Εστω ο ομογραφικός μετασχηματισμός $w(z) = a \frac{z-b}{z-d}$. Να δείξετε ότι (a) κύκλο που περνούν από τα σημεία $z=b$ και $z=d$ απεικονίζονται σε εξέσθισης $\frac{z-b}{z-d} = \frac{r}{|a|}$ απεικονίζονται σε κύκλους με κέντρο την αρχή 0 και ακτίνα r .

9. Βρείτε την εικόνα της γενθείας $x=5$ με το μετασχηματισμό $w = \frac{z-1}{z+1}$.
 $(\text{Απάν. } (w - \frac{5}{6})^2 + u^2 = \frac{1}{36}).$

10. (a) Αποδείξτε ότι το πρώτο τετράγρα του z -επιπέδου απεικονίζεται στο άνω ημιεπιπέδο με την απεκόνιση $w=z^2$.
(b) Να βραίτε την εικόνα του τριγάνου που περικλείεται από τις ευθείες $x=1$, $y=1$ και $x+y=1$ με την προηγούμενη απεκόνιση.
(c) Αποδείξτε ότι με την απεκόνιση αυτή το τριγάνο απεικονίζεται σε ένα καμπυλόγραμμο τρίγωνο με τις διεξ γωνίες.

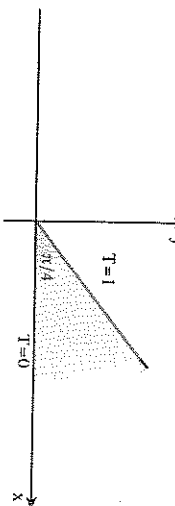
11. Άντι $T_1(z) = \frac{az+b_1}{c_1 z+d_1}$, $T_2(z) = \frac{az+b_2}{c_2 z+d_2}$ και $\mu(T_1) = \begin{pmatrix} a_1 & b_1 \\ c_1 & d_1 \end{pmatrix}$, $\mu(T_2) = \begin{pmatrix} a_2 & b_2 \\ c_2 & d_2 \end{pmatrix}$, τότε $\mu(T_1 \circ T_2) = \begin{pmatrix} a_1 & b_1 \\ c_1 & d_1 \end{pmatrix} \begin{pmatrix} a_2 & b_2 \\ c_2 & d_2 \end{pmatrix}$, δημο
 $T_1 \circ T_2(z) = T_1(T_2(z))$, η σύνθεση των ομογραφικών μετασχηματισμών T_1 και T_2 .

12. Άντι $T_1(z) = \frac{2z+1}{2z-1}$ και $T_2(z) = \frac{z-1}{z+2}$, να θρεψούν τα σταθερά σημεία του $T_1 \circ T_2$.
 $(\text{Απάν. } z_1=0, z_2=7)$

13. Δύο σημεία z και z' λέγονται καταποτρικά ως προς τον κύκλο $\{z: |z-a|=r\}$ αν τα σημεία a , z , z' θρίσκευται στην αυτή ημερησία με αφετηρία το σημείο a και $z'=w(z)=a+\frac{r^2}{z-a}$. Να θρεψει η εικόνα του κύκλου $\{z: |z|=1\}$ με κατοπτρισμό ως προς τον κύκλο $\{z: |z-2|=1\}$.
 $(\text{Απάν. } \left|w - \frac{4}{3}\right| = \frac{1}{3})$

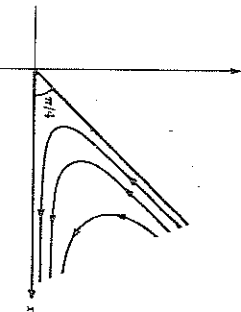
14. Ένας ομογραφικός μετασχηματισμός λέγεται ενδεικτικός αν $T(T(z))=z$. Να δειχθεί ότι ένας ομογραφικός μετασχηματισμός σίναι ενδεικτικός τόπε και μόνο αν $a^2=d^2$.

15. Να θρεψει ο τύπος που ορίζει τη θερμοκρασία στον τόπο με τις συνοριακές συνθήκες που σημειώνονται πάνω στο παρακάτω σχήμα.



$$(\text{Απάν. } u(x, y) = \frac{1}{\pi} \tan^{-1} \frac{4xy - 4x^3}{x^2 - 6x^2y^2 + y^4})$$

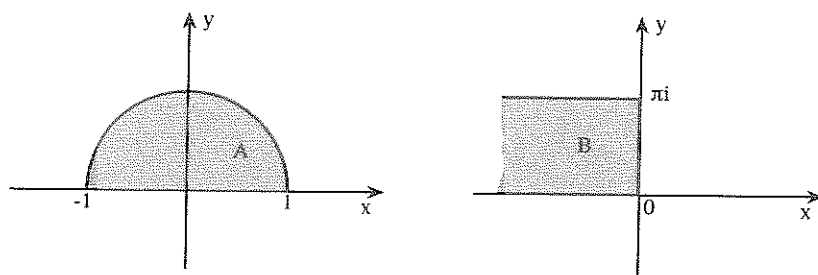
16. Να θρεψει ο τύπος που ορίζει τη ροή ενός ρευστού στον τόπο που φαίνεται στο παρακάτω σχήμα. (Η ταχύτητα στο άπειρο τοσούται με α).



(Απάν.: $\phi(r, \theta) = ar^4 \cos 4\theta$, $\psi(r, \theta) = ar^4 \sin 4\theta$ ή $\phi(x, y) = (x^4 - 6x^2y^2 + y^4)a$,
 $\psi(x, y) = 4x^3y - 4xy^3a$)

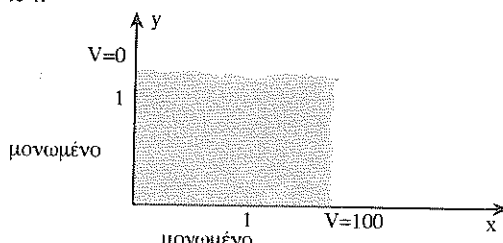
17. Έστω Α είναι το άνω μοναδιαίο ημικύκλιο. Βρείτε τη θερμοκρασία μέσα σ' αυτό αν το κυκλικό τόξο είναι μονωμένο, $T=0$ για $x>0$ και $T=10$ για $x<0$ στον πραγματικό άξονα.

(Υπόδειξη: Χρησιμοποιήστε την απεικόνιση του παρακάτω σχήματος)



(Απάν.: $T(x, y) = \frac{10}{\pi} \tan^{-1} \left(\frac{y}{x} \right)$)

18. Να θρεθεί το ηλεκτροστατικό δυναμικό στον τόπο που φαίνεται στο παρακάτω σχήμα



(Απάν.: $V(x, y) = 50 + \frac{100}{\pi} \sin^{-1} \frac{1}{2} (\sqrt{(x^2 - y^2 + 1)^2 + 4x^2y^2} - \sqrt{(x^2 - y^2 - 1)^2 + 4x^2y^2})$

7. Επικαμπύλιο ολοκλήρωμα στο μιγαδικό επίπεδο

Ο ορισμός του επικαμπύλιου ολοκληρώματος στο μιγαδικό επίπεδο είναι σχεδόν ο ίδιος με εκείνον του επικαμπύλιου ολοκληρώματος πραγματικών συναρτήσεων.

Έστω c διαφορίσιμη καμπύλη στο z -επίπεδο ορισμένη από την συνάρτηση $z(a) = x(a) + iy(a)$ στο διάστημα $I = [b, d]$ (συνεπώς dx/da και dy/da είναι συνεχείς στο I). Έστω ότι η $f(z)$ είναι συνεχής πάνω

στη σ
ώστε

Σε κά
ώστε
τμήμα

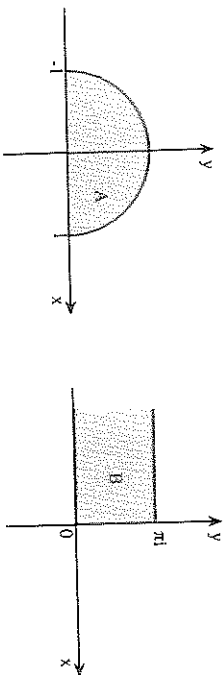
Για σ
Έστω
Δακ. Κ
μήκος

υποθέ
= Δx_k
σμα σ

Αποδε
||Δα|| →

(Απλών: $\varphi(r, \theta) = ar^3 \cos 4\theta$, $\psi(r, \theta) = ar^3 \sin 4\theta$ ή $\varphi(x, y) = (x^4 - 6x^2y^2 + y^4)a$,
 $\psi(x, y) = 4x^3y - 4xy^3a$)

17. Έστω A είναι το άνω μοναδιαίο πικουλάκιο. Βρείτε τη θερμόκρασία μέσα σ' αυτό αν το κυκλικό τύχο είναι μονονέφων, $T=0$ για $x > 0$ και $T=10$ για $x < 0$ στον πραγματικό μέσον.
- (Υπόθεση: Χρησιμοποίηστε την απεικόνιση του παρακάτω σχήματος)



$$(Απλών: T(x, y) \approx \frac{10}{\pi} \tan^{-1} \frac{y}{x})$$

18. Να θρεψεί το πλεκτροστατικό δυναμικό στον τόπο που φαίνεται στο παρακάτω σχήμα



$$(Απλών: V(x, y) = 50 + \frac{100}{\pi} \sin^{-1} \frac{1}{2} (\sqrt{x^2 + y^2 + 1})^2 + 4x^2y^2 - \sqrt{(x^2 + y^2 - 1)^2 + 4x^2y^2}$$

7. Επικαμπύλο ολοκλήρωμα στο μηδαμικό επίπεδο

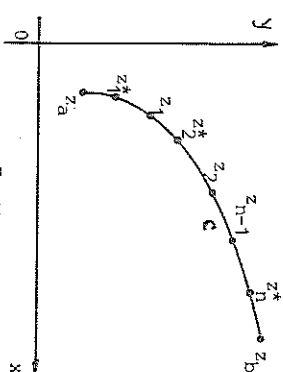
Ο ορισμός του επικαμπύλου ολοκληρώματος στο μηδαμικό επίπεδο είναι σχεδόν ο ίδιος με εκείνον του επικαμπύλου ολοκληρώματος πριγματικών συναρτήσεων.

Έστω c διαφοριστική καρβώνη στο z -επίπεδο ορισμένη από την συνάρτηση $z(a) = x(a) + iy(a)$ στο διάστημα $I = [b, d]$ (σ νη $\frac{dx}{da}$ και $\frac{dy}{da}$ είναι συνεχείς στο I). Έστω ότι η $f(z)$ είναι συνεχής πάνω

στη c . Διαιρούμε το I σε n υποδιαστήματα με τα σημεία a_0, a_1, \dots, a_n ώστε

$$b = a_0 < a_1 < \dots < a_{k-1} < \dots < a_{n-1} < a_n = d.$$

Σε κάθε υποδιάστημα παρινούμε μία τιμή a_k^* παραμέτρου, τέτοια ώστε $a_{k-1} \leq a_k^* \leq a_k$, $k=1, 2, \dots, n$. Τα σημεία $z(a_k)$ διαρρέουν τη c σε n τμήματα το δε $z(a_k^*)$ είναι σημείο της c μεταξύ $z(a_{k-1})$ και $z(a_k)$ (Σz_k).



$$\Sigma z_k$$

υποθέτοντας ότι το δρόμο υπέργειας το $x(a_k)$ με το $z(a_k)$ με το z_k , κ.ο.κ.

Έστω $\Delta z_k = z_k - z_{k-1}$, $\Delta z_k^* = z_k - z_{k-1}$ και έστω $\|z_k\|$ η μέγιστη τιμή του Δz_k . Κατόπιν αυτών ορίζουμε το επικαμπύλο ολοκλήρωμα της $f(z)$ κατά μήκος της c ως

$$\int_C f(z) dz = \lim_{\|z_k\| \rightarrow 0} \sum_{k=1}^n f(z_k^*) \Delta z_k, \quad (1)$$

υποθέτοντας ότι το δρόμο υπέργειας. Έστω $f(z) = u(x, y) + iv(x, y)$ και $\Delta z_k = \Delta x_k + i \Delta y_k$, όπου $\Delta x_k = x_k - x_{k-1}$ και $\Delta y_k = y_k - y_{k-1}$. Επομένως το διθόριο σημ. σημ. (1) γράφεται

$$\sum_{k=1}^n (u_k^* + iv_k^*) (\Delta x_k + i \Delta y_k)$$

$$= \sum_{k=1}^n (u_k^* \Delta x_k - v_k^* \Delta y_k) + i(u_k^* \Delta y_k + v_k^* \Delta x_k) \quad (2)$$

$$= \sum_{k=1}^n u_k^* \Delta x_k - \sum_{k=1}^n v_k^* \Delta y_k + i \sum_{k=1}^n u_k^* \Delta y_k + i \sum_{k=1}^n v_k^* \Delta x_k.$$

Αποδεικνύεται ότι το δρόμο κάθε αθροίσματος σημ. (2) υπάρχει καθώς $\|z_k\| \rightarrow 0$, οπότε

$$\begin{aligned} \int_C f(z) dz &= \int_C u(x, y) dx - \int_C v(x, y) dy + i \int_C u(x, y) dy + i \int_C v(x, y) dx \\ &= \int_C \left(u \frac{dx}{da} - v \frac{dy}{da} \right) da + i \int_C \left(v \frac{dx}{da} + u \frac{dy}{da} \right) da. \end{aligned} \quad (3)$$

Ομοίως, η (3) γράφεται

$$\int_C f(z) dz = \int_C (u+iv) dx + i(u+iv) dy = \int_C (u+iv) (dx+i dy).$$

Γενικά αν $c=c(t)$ είναι ένας διαφορίσιμος (λείος) δρόμος στο \mathbb{C} , τότε

$$\int_C f(z) dz = \int_a^\beta f(c(t)) c'(t) dt \quad (a)$$

Απόλυτο επικαμπύλιο μιγαδικό ολοκλήρωμα της f κατά μήκος του λείου δρόμου C , που συμβολίζεται $\int_C f(z) |dz|$, είναι το εξής

$$\int_C f(z) |dz| = \int_a^\beta f(c(t)) |c'(t)| dt, \quad (b)$$

όπου $|c'(t)|$ είναι το μέτρο της παραγώγου του $c(t)$.

Αν όμως υπάρχει μιγαδική συνάρτηση $F(z)$ τέτοια ώστε, $F'(z)=f(z)$, δηλαδή η $f(z)$ είναι η παράγωγος της ολόμορφης συνάρτησης $F(z)$ στον τόπο μέσα στον οποίο βρίσκεται ο δρόμος ολοκλήρωσης, τότε, όπως θα δούμε στην επόμενη παράγραφο,

$$\int_C f(z) dz = [F(z)]_{z=z_1} = F(z_2) - F(z_1) \quad (c)$$

Οι παρακάτω συμβολισμοί θα χρησιμοποιούνται στα επόμενα:

$$\int_A^B f(z) dz, \quad \int_C f(z) dz.$$

Ισχύουν δε οι ιδιότητες:

r) dx

(3)

$$\int_A^B f(z) dz = - \int_B^A f(z) dz ,$$

$$\int_c^c kf(z) dz = k \int_c^c f(z) dz, \quad k \text{ μιγαδικός}$$

$$\int_c^c [f(z) + g(z)] dz = \int_c^c f(z) dz + \int_c^c g(z) dz .$$

Αν η c είναι τμηματικώς διαφορίσιμη, το επικαμπύλιο ολοκλήρωμα της $f(z)$ κατά μήκος c είναι το άθροισμα των ολοκληρωμάτων κατά μήκος των διαφορίσιμων τμημάτων.

Στα επόμενα θα θεωρήσουμε επικαμπύλια ολοκληρώματα μόνο πάνω σε τμηματικώς διαφορίσιμες καμπύλες.

ΠΑΡΑΔΕΙΓΜΑ 1

Να υπολογιστεί το $I = \int_0^{1+i} z^2 dz$, όπου c η παραβολή $y=x^2$.

Στην περίπτωση αυτή, $z^2 = (x^2-y^2)+2xyi$ και

$$I = \int_c (x^2-y^2) dx - 2xy dy + i \int_c 2xy dx + (x^2-y^2) dy . \quad (4)$$

(b)

Αν αντικαταστήσουμε $y=x^2$ και $dy=2x dx$ η (4) δίνει

$$I = \int_{x=0}^1 (x^2-5x^4) dx + i \int_{x=0}^1 (4x^3-2x^5) dx = -\frac{2}{3} + \frac{2}{3}i .$$

ΠΑΡΑΔΕΙΓΜΑ 2

Να υπολογιστεί το ολοκλήρωμα στο προηγούμενο παράδειγμα αν η c αποτελείται από τα ευθύγραμμα τμήματα από το $z=0$ ως το $z=1$ και από $z=1$ ως το $z=1+i$.

Στο πρώτο ευθύγραμμο τμήμα της c , έχουμε $y=0$ και $dy=0$, οπότε η (4) δίνει

$$\int_{x=0}^1 x^2 dx = \frac{1}{3} .$$

Κατά μήκος του δεύτερου ευθύγραμμου τμήματος έχουμε $x=1$ και $dx=0$, οπότε η (4) δίνει

$$\int_{y=0}^1 (-2y) dy + i \int_{y=0}^1 (1-y^2) dy = -1 + \frac{2}{3}i .$$

μήκος του

 $F(z)$ στον

ε, όπως θα

(b)

 $\tilde{F}'(z)=f(z)$, $F(z)$ στον

ε, όπως θα

(c)

ενα:

Άρα κατά μήκος ολόκληρου του γωνιακού δρόμου

$$I = \int_C^{1+i} z^2 dz = -\frac{2}{3} + \frac{2}{3} i .$$

Το γεγονός ότι το ολοκλήρωμα έχει την αυτή τιμή στα παραδείγματα 1 και 2 είναι συνέπεια της αναλυτικότητας της $f(z) = z^2$. Η ιδιότητα αυτή θα εξεταστεί στην επόμενη παράγραφο.

ΠΑΡΑΔΕΙΓΜΑ 3

$$I = \int_C^{1+i} (x+2yi) dz, \text{ όπου } C \text{ είναι ο δρόμος του Παραδείγματος 1}$$

και μετά ο δρόμος του Παραδείγματος 2.

Έχουμε

$$\int_C^{1+i} (x+2yi) (dx+idy) = \int_C (x dx - 2y dy) + i \int_C (2y dx + x dy) . \quad (5)$$

Για την παραθολή $y = x^2$, η (5) δίνει

$$\int_0^1 (x - 4x^3) dx + i \int_0^1 4x^2 dx = -\frac{1}{2} + \frac{4}{3} i .$$

Πάνω στο πρώτο τμήμα του γωνιακού δρόμου η (5) δίνει

$$\int_0^1 x dx = \frac{1}{2}$$

και πάνω στο δεύτερο τμήμα

$$\int_0^1 (-2y) dy + i \int_0^1 dy = -1 + i .$$

Άρα κατά μήκος του δρόμου του Παραδείγματος 2

$$\int_C^{1+i} (x+2yi) dz = -\frac{1}{2} + i .$$

Στην περίπτωση αυτή το ολοκλήρωμα εξαρτάται από το δρόμο C , όπως επίσης και από το άκρο του δρόμου. Πρέπει να σημειωθεί ότι για τη συνάρτηση αυτή

$$u_x = 1, \quad u_y = 0 \quad \text{και} \quad v_x = 0, \quad v_y = 2$$

και άρα δεν πληρούνται οι εξισώσεις των Cauchy-Riemann σ' ολόκληρο το z-επίπεδο.

Ενίοτε χρειάζεται να έχουμε ένα ανώτερο φράγμα για το μέτρο του $\int_c f(z) dz$. Έστω ΔS_k ισούται με το μήκος τόξου κατά μήκος της c μεταξύ των σημείων z_{k-1} και z_k . Το μήκος της χορδής που συνδέει τα σημεία αυτά είναι $|\Delta z_k| = |z_k - z_{k-1}|$ και άρα $|\Delta z_k| \leq \Delta S_k$. Έχουμε

$$\sum_{k=1}^n |f(z_k^*) \Delta z_k| \leq \sum_{k=1}^n |f(z_k^*)| |\Delta z_k| = \sum_{k=1}^n |f(z_k^*)| |\Delta z_k| \leq \sum_{k=1}^n |f(z_k^*)| \Delta S_k .$$

Εφόσον η συνάρτηση $f(z(a))$ είναι συνεχής στο $I=[b, d]$ έπειτα ότι θα είναι φραγμένη, δηλαδή θα υπάρχει πραγματικός αριθμός M τέτοιος ώστε $|f(z)| \leq M$, για όλα τα $z \in c$. Άρα

$$\begin{aligned} \left| \int_c f(z) dz \right| &= \left| \lim_{\|\Delta a\| \rightarrow 0} \sum_{k=1}^n f(z_k^*) \Delta z_k \right| = \\ &= \lim_{\|\Delta a\| \rightarrow 0} \left| \sum_{k=1}^n f(z_k^*) \Delta z_k \right| \leq \lim_{\|\Delta a\| \rightarrow 0} \sum_{k=1}^n |f(z_k^*)| \Delta S_k = \\ &= \int_c |f(z)| dz \leq \int_c M ds = ML , \end{aligned} \quad (6)$$

όπου L είναι το μήκος της c.

ΠΑΡΑΔΕΙΓΜΑ 4

Να βρεθεί ένα ανώτερο φράγμα του $\left| \int_c \frac{dz}{z^2} \right|$, όπου c είναι ο δρόμος

κατά μήκος του ευθύγραμμου τμήματος από το $z=2$ ως το $z=2+i$.

Πάνω στο C έχουμε $x=2$ και άρα

$$|f(z)| = \left| \frac{1}{z^2} \right| = \frac{1}{|z|^2} = \frac{1}{x^2+y^2} = \frac{1}{4+y^2} .$$

Πάνω στη c έχουμε επίσης $0 \leq y \leq 1$ και άρα $|f(z)| \leq \frac{1}{4}$. Το μήκος της c είναι 1. Άρα

$$\left| \int_c \frac{dz}{z^2} \right| \leq \frac{1}{4} .$$

ΠΑΡΑΔΕΙΓΜΑ 5

Η υπόλογισησίν τα ολοκλήρωμα.

$$(a) \int_C \frac{z}{\bar{z}} dz, \quad c(t) = e^{-int}, \quad t \in [0, 1]$$

$$(b) \int_C (3\bar{z} + 2z) |dz|, \quad c(t) = e^{-int}, \quad t \in [0, 1]$$

$$(c) \int_C |z|^2 dy, \quad c(t) = e^{int}, \quad t \in [0, \frac{1}{3}]$$

$$(d) \int_C (3z^2 + 2e^{int}) dz, \quad c \text{ το άνω ημικύκλιο ακτίνας } 2.$$

Απόπ. (a) Σύμφωνα με τον τύπο (a),

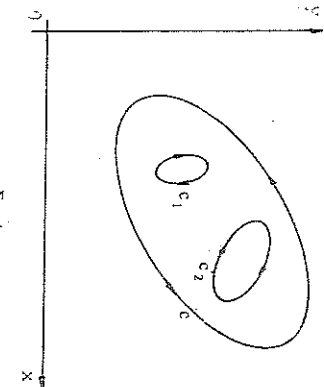
$$\int_C \frac{z}{\bar{z}} dz = - \int_0^1 \frac{e^{-int}}{e^{int}} -int e^{-int} dt = \frac{1}{3} [e^{-3int}]_0^1 = -\frac{2}{3}.$$

(b) Σύμφωνα με τον τύπο (b),

$$\begin{aligned} \int_C (3\bar{z} + 2z) |dz| &= \int_0^1 (3e^{int} + 2e^{-int}) |e^{-int} (-int)| dt \\ &= \pi \int_0^1 (3e^{int} + 2e^{-int}) dt = 2i. \end{aligned}$$

(c) Η καμπύλη c έχει εξισώση $z(t) = e^{int} = \cos nt + i \sin nt = x + iy$. Δηλαδή $x = \cos nt$, $y = \sin nt$, $|z| = 1$. Συνεπός,

$$\int_C |z|^2 dy = \pi \int_0^{1/3} \cos^2 nt dt = \frac{\sqrt{3}}{2} \pi.$$



(d) Η συνάρτηση $3z^2 + 2e^{int}$ είναι η παράγωγος της συνάρτησης $z^3 + \frac{2}{int} e^{int}$. Επομένως, σύμφωνα με τον τύπο (c), έχουμε

$$\int_C (3z^2 + 2e^{int}) dz = \left[z^3 + \frac{2}{int} e^{int} \right]_{z=2}^{z=2} = -16.$$

8. Ολοκλήρωση αναλυτικών συναρτήσεων

Η παράγραφος αυτή περιλαμβάνει ορισμένα θεωρήματα που υφορούν ολοκλήρωμα αναλυτικών συναρτήσεων. Το πρώτο από αυτά είναι ένα από τα σπουδαιότερα θεωρήματα της θεωρίας των αναλυτικών συναρτήσεων.

ΘΕΩΡΗΜΑ 1. (Ολοκληρωτικό θεώρημα των Cauchy-Goursat).

Έστω D ανοικτός τόπος στο \mathbb{C} -στιπέρο, που έχει σύνορο c ένα σύνολο κλειστών καμπύλων οι οποίες δεν τέμνονται μεταξύ τους. Έστω άτι η συνάρτηση $f(z)$ είναι αναλυτική στον τόπο D και διαλέγεται ένα ολοκλήρωμα γ στο c . Τότε,

$$\int_c f(z) dz = 0,$$

όπου γ ολοκλήρωση κατά μήκος του c θα φέρεται κατά τη θετική φορά.

Το θεώρημα αυτό αποδειχθήκε για πρώτη φορά από τον Cauchy ο οποίος διέφρισε επιπλέον την υπόθεση ότι $f'(z)$ είναι συνεχής στο D και πάνω στο c . O Goursat έδειξε ότι η επιπλέον υπόθεση μπορεί να παραλειφθεί και έτοι το νέο θέματα αποδειχθήκε εξιμερητής σημασίας στη θεωρία των μηδιδικών συναρτήσεων. Η παρακάτω αποδειξή είναι η πρώτη δηλαδή εκείνη που υποθέτεται ότι $f'(z)$ είναι συνεχής.

Απόδειξη. Η θετική φορά ορίζεται στο Σ_X l. Έστω $f(z) = u(x, y) + iv(x, y)$. Εφόσον $\gamma'(z)$ είναι συνεχής, ο πρώτος μερικός παράγοντας u και ν' ας προσ. x και y , είναι συνεχής συναρτήσεις. Επειδή η $f(z)$ είναι αναλυτική, οι εξισώσεις των Cauchy-Riemann πληρούνται, δηλαδή,

$u_x = v_y$ και $u_y = -v_x$. Η εφαρμογή του θεωρήματος του Green στο επίπεδο δίνει

$$\begin{aligned} \int_C f(z) dz &= \int_C (u dx - v dy) + i \int_C (u dx + v dy) = \\ &= \iint_D (-v_x - u_y) dx dy + i \iint_D (u_x - v_y) dx dy = 0. \end{aligned}$$

ΘΕΩΡΗΜΑ 2

Έστω ότι η συνάρτηση $f(z)$ είναι αναλυτική στον απλώς συναφή τόπο D . Έστω z_1 και z_2 κείνται στο D . Τότε $\int_{z_1}^{z_2} f(z) dz$ είναι ανεξάρτητο του δρόμου που ακολουθείται από το z_1 στο z_2 μέσα στο D .

Απλώς συναφής καλείται ένας τόπος D στον οποίο κάθε κλειστή καμπύλη που κείται στο D μπορεί να συσταλεί σε ένα σημείο χωρίς να περάσει από σημεία εκτός του D . Π.χ. ο τόπος μεταξύ δύο ομόκεντρων κύκλων δεν είναι απλώς συναφής.

ΘΕΩΡΗΜΑ 3

Έστω $f(z)$ είναι συνεχής συνάρτηση σε ένα απλώς συναφή τόπο D . Έστω z_0 σταθερό σημείο στο D και z μεταβλητό σημείο στο D . Έστω ότι το $\int_{z_0}^z f(z) dz$ είναι ανεξάρτητο του δρόμου ολοκλήρωσης στο D . Τότε υπάρχει συνάρτηση $F(z)$, αναλυτική στο D , τέτοια ώστε $F'(z) = f(z)$. Ακόμη, αν z_1 και z_2 ανήκουν στο D ,

$$\int_{z_1}^{z_2} f(z) dz = F(z_2) - F(z_1),$$

πάνω σε οποιαδήποτε καμπύλη στο D .

Απόδειξη. Ανεξάρτητα του δρόμου που ακολουθείται μπορούμε να ορίσουμε τη συνάρτηση

$$F(z) = \int_{z_0}^z f(z) dz.$$

Παίρνουμε σημείο $z \in D$ και το διατηρούμε προς στιγμή σταθερό. Έστω $\epsilon > 0$. Εφόσον η $f(z)$ είναι συνεχής στο z , υπάρχει $\delta > 0$ τέτοιο ώστε η $|z - z'| < \delta$ συνεπάγεται την $|f(z) - f(z')| < \epsilon$. Παίρνουμε σημείο

$z + \Delta z$, $|z + \Delta z - z| < \delta$, (Σ)

(Να αποδειχθεί ότι $\int_{z_0}^{z+\Delta z} f(z) dz = F(z+\Delta z) - F(z_0)$)

Έστω c

Αν ολοκληρωθεί της c' , έχει την μορφή

$F(z)$

Άρα,

$|F(z) - F(z_0)| = |\int_{z_0}^z f(z) dz| \leq M |z - z_0| < M \delta < \epsilon$

επειδή $M = \max_{z \in D} |f(z)|$

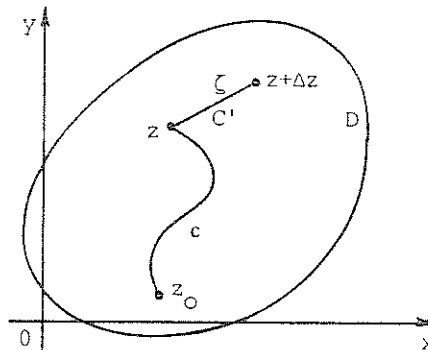
πεδο
z+Δz, $|Δz| < δ$ και έστω c' ευθύγραμμο τμήμα που συνδέει το z και το z+Δz, (Σχ. 2). Έστω ζ βιηθητική μεταβλητή σημείων κατά μήκος του c'. Σύμφωνα με την παράγραφο 6

$$\int_{c'}^z d\zeta = \Delta z .$$

(Να αποδειχθεί). Επειδή f(z) είναι σταθερή κατά την ολοκλήρωση κατά μήκος της c',

$$f(z) = \frac{1}{Δz} \int_{c'}^{z+Δz} f(z) d\zeta .$$

Έστω c καμπύλη στο D από το z_0 στο z.



Σχ. 2

Αν ολοκληρώσουμε κατά μήκος της c και στη συνέχεια κατά μήκος της c', θα έχουμε, από τον ορισμό της F(z), ότι

$$F(z+Δz) - F(z) = \int_{z_0}^{z+Δz} f(z) dz - \int_{z_0}^z f(z) dz = \int_z^{z+Δz} f(z) dz .$$

Άρα,

$$\begin{aligned} \left| \frac{F(z+Δz) - F(z)}{Δz} - f(z) \right| &= \left| \frac{1}{Δz} \int_z^{z+Δz} f(\zeta) d\zeta - \frac{1}{Δz} \int_z^{z+Δz} f(z) d\zeta \right| \leq \\ &\leq \frac{1}{|Δz|} \int_z^{z+Δz} |f(\zeta) - f(z)| dz < \frac{1}{|Δz|} ε |Δz| = ε , \end{aligned}$$

επειδή $|\zeta - z| \leq |Δz| < δ$. Από αυτό έπειται ότι

$$\lim_{\Delta z \rightarrow 0} \frac{F(z + \Delta z) - F(z)}{\Delta z} = f(z), \quad \text{ή} \quad F'(z) = f(z).$$

Τόπα έστω z_1 και z_2 τυχόντα σημεία στο D και c καρπύλη που διέρχεται από τα σημεία z_0 , z_1 και z_2 . Τότε η ολοκλήρωση κατά μήκος c δίνει

$$\begin{aligned} \int_{z_0}^{z_2} f(z) dz &= \int_{z_0}^{z_1} f(z) dz + \int_{z_1}^{z_2} f(z) dz \\ \text{ή} \\ \int_{z_1}^{z_2} f(z) dz &= F(z_2) - F(z_1). \end{aligned}$$

Πρέπει να σημειωθεί ότι αν η υπόθεση της συνέχειας της $f(z)$ στο Θεόρημα 3 αντικατασταθεί από την αναλυτικότητα, τότε σύμφωνα με το Θεόρημα 2, η υπόθεση της συνέχειας κατά μήκος του δρόμου αντομάτως πληρούται.

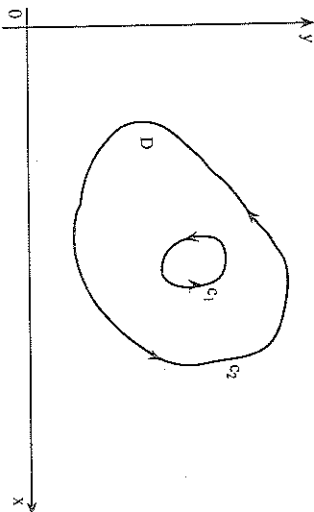
ΘΕΩΡΗΜΑ 4

Τέτοια c_1 και c_2 απλές κλαστικές καμπύλες και c_1 εντός της c_2 . Έστω $f(z)$ αναλυτική στον τόπο D μεταξύ των c_1 και c_2 και πάνω στης c_1 και c_2 . Τότε

$$\oint_{c_2} f(z) dz = \oint_{c_1} f(z) dz.$$

Απόδειξη. (Σχ. 3). Εστω c το σύνορο του D . Από το Θεόρημα 1

$$\int_c f(z) dz = 0, \quad \text{όπου } c \text{ ολοκλήρωση θεωρείται κατά τη θετική φορά}$$



Σχ. 3

κατά μήκος της c . Τότε, εφόσον

$$\int_c f(z) dz = \oint_{c_2} f(z) dz - \oint_{c_1} f(z) dz,$$

έχουμε

$$\int_{c_2} f(z) dz = \oint_{c_1} f(z) dz.$$

Στην πράξη ως c_1 συνήθως θεωρείται κύκλος που έχει ως κέντρο ένα ανόμαλο σημείο της $f(z)$.

9. Ο Θεμελιώδης τύπος του Cauchy

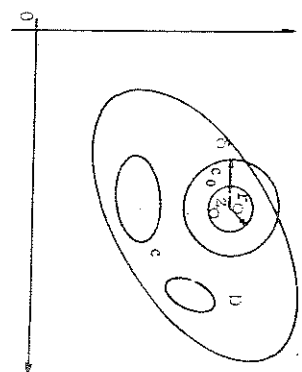
Στην παράγραφο αυτή θα εξετάσουμε μερικές σπουδαίες συνέπειες του θεορήματος των Cauchy-Goursat.

ΘΕΩΡΗΜΑ 1

Έστω D ιδεατός τόπος στο z -επίπεδο που έχει σύνορο c που αποτελείται από πεπερασμένο πλήθος απλών κλειστών καμπύλων που δεν τίμνονται. Έστω ότι $f(z)$ είναι αναλυτική στο D και πάνω στο c . Έστω z_0 τυχόν εσωτερικό σημείο του D . Τότε,

$$f(z_0) = \frac{1}{2\pi i} \oint_c \frac{f(z) dz}{z - z_0}, \quad (1)$$

όπου η ολοκλήρωση κατά μήκος της c θεωρείται κατά τη θετική φορά.



Σχ. 4

Απόδειξη. Εστω $\varepsilon > 0$. Εφόσον η $f(z)$ είναι αναλυτική στο $z = z_0$, είναι συνεχής και άρα υπάρχει $\delta > 0$ τέτοιο ώστε, αν $|z - z_0| < \delta$ έπειται ότι $|f(z) - f(z_0)| < \varepsilon$. Εστω c_0 ο κύκλος $|z - z_0| = r_0$, όπου η ακτίνα $r_0 < \delta$, είναι επίσης αρκετά μικρή ώστε ο δίσκος που ορίζεται απ' αυτόν να θρίσκεται ολόκληρος μέσα στο D . (Σχ. 4). Η συνάρτηση που ολοκληρώνεται στην (1) είναι αναλυτική σ' ολόκληρο τον κλειστό τόπο D' , ο οποίος αποτελείται από το D εκτός του εσωτερικού του c_0 , και πάνω στο σύνορο c του D' .

Από το Θεώρημα 4, της προηγούμενης παραγράφου

$$\int_c \frac{f(z) dz}{z - z_0} = \oint_{c_0} \frac{f(z) dz}{z - z_0}. \quad (2)$$

Μπορούμε να γράψουμε

$$\begin{aligned} \oint_{c_0} \frac{f(z)}{z - z_0} dz &= \oint_{c_0} \frac{f(z_0) + [f(z) - f(z_0)]}{z - z_0} dz = \\ &= f(z_0) \oint_{c_0} \frac{dz}{z - z_0} + \oint_{c_0} \frac{f(z) - f(z_0)}{z - z_0} dz. \end{aligned} \quad (3)$$

Μπορούμε επίσης να υπολογίσουμε το πρώτο ολοκλήρωμα στο δεξιό μέλος της (3), θέτοντας $z - z_0 = r_0 e^{i\phi}$ πάνω στη c_0 . Οπότε, $dz = ir_0 e^{i\phi} d\phi$ και

$$\int_{c_0} \frac{dz}{z - z_0} = \int_0^{2\pi} \frac{ir_0 e^{i\phi} d\phi}{r_0 e^{i\phi}} = 2\pi i, \quad (4)$$

το οποίο είναι ανεξάρτητο του r_0 . Ακόμη, το ολοκλήρωμα στο αριστερό μέλος της (3) είναι ανεξάρτητο του r_0 πράγμα που συνεπάγεται από την ισότητα (2). Άρα το δεύτερο ολοκλήρωμα στο δεξιό μέλος της (3) πρέπει επίσης να είναι ανεξάρτητο του r_0 . Επειδή πάνω στη c_0 , $|z - z_0| = r_0 < \delta$, έχουμε

$$\frac{|f(z) - f(z_0)|}{|z - z_0|} < \frac{\varepsilon}{r_0},$$

και το μήκος της c_0 είναι $2\pi r_0$. Σύμφωνα με τη σχέση (6) της παραγράφου 6,

$$\left| \oint_{c_0} \frac{f(z) - f(z_0)}{z - z_0} dz \right| \leq \frac{\varepsilon}{r_0} 2\pi r_0 = 2\pi\varepsilon. \quad (5)$$

το $z = z_0$,
εδ έπειται
η ακτίνα
χπ' αυτόν
που ολο-
τόπο D' ,
και πάνω

(2)

Εφόσον το ϵ είναι αυθαιρέτως μικρό, το ολοκλήρωμα στη σχέση (5) πρέπει να ισούται με μηδέν. Κατά συνέπεια,

$$\int_{\epsilon} \frac{f(z) dz}{z - z_0} = 2\pi i f(z_0),$$

η οποία είναι η σχέση (1) που θέλαμε να αποδείξουμε.

Η (1) καλείται ολοκληρωτικός τύπος του Cauchy και συνδέει την τιμή μιας αναλυτικής συνάρτησης σ' ένα εσωτερικό σημείο ενός τόπου με τις τιμές αυτής πάνω στο σύνορο του τόπου.

(2)

ΠΑΡΑΔΕΙΓΜΑ I

Να υπολογιστεί το

$$I = \int_{\epsilon} \frac{z^2 dz}{z - (2+i)}$$

όπου ϵ είναι ο κύκλος $|z - (2+i)| = 1$.

(3)

Αυτό είναι ένα παράδειγμα του ολοκληρώματος της σχέσης (1), όπου $f(z) = z^2$ και $z_0 = 2+i$. Άρα

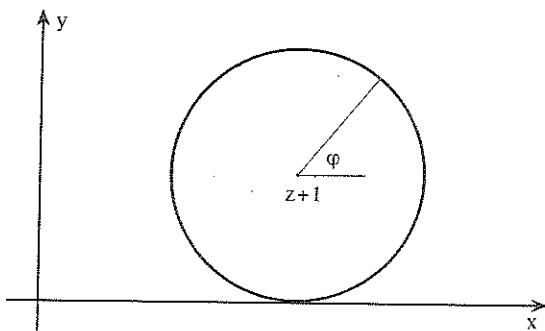
$$I = 2\pi i (2+i)^2 = -8\pi + 6\pi i.$$

Το εξαγόμενο αυτό μπορεί να επαληθευτεί και με κατευθείαν ολοκλήρωση, θέτοντας z ίσο με $2+i+e^{i\phi}$ πάνω στη ϵ όπως στο Σχ. 15.

Οπότε $dz = ie^{i\phi} d\phi$ και

(4)

$$I = \int_0^{2\pi} \frac{((2+i)+e^{i\phi})^2 ie^{i\phi}}{e^{i\phi}} d\phi = i \int_0^{2\pi} ((3+4i)+2(2+i)e^{i\phi}+e^{2i\phi}) d\phi = \\ = (3+4i) 2\pi = -8\pi + 6\pi i,$$



Sx. 5

(5)

διότι $\int_0^{2\pi} e^{2i\varphi} d\varphi = 0$ και $\int_0^{2\pi} e^{i\varphi} d\varphi = 0$, αφού η εκθετική συνάρτηση είναι περιοδική.

Χωρίς απόδειξη δίνουμε το παρακάτω:

ΘΕΩΡΗΜΑ 2

Έστω $f(z)$ συνάρτηση αναλυτική στο $z=z_0$. Τότε οι παράγωγοι οποιασδήποτε τάξης αυτής υπάρχουν στο $z=z_0$ και άρα αυτές είναι αναλυτικές στο z_0 .

Ακόμη

$$f^{(n)}(z_0) = \frac{\pi!}{2\pi i} \oint_c \frac{f(z)}{(z-z_0)^{n+1}} dz, \quad (6)$$

όπου $f^{(n)}(z_0)$ είναι η n -οστή παράγωγος της $f(z)$ στο σημείο $z=z_0$ και είναι ο κύκλος κέντρου z_0 αρκούντως μικρής ακτίνας.

Μπορεί κανείς να παρατηρήσει ότι ο τύπος (6) προκύπτει αν διαδοχικώς παραγωγίσουμε τη σχέση (1) ως προς z_0 .

ΘΕΩΡΗΜΑ 3

Έστω $f(z)$ συνεχής συνάρτηση στον απλώς συναφή τόπο D . Έστω $\oint_c f(z) dz = 0$, γύρω από οποιαδήποτε κλειστή καμπύλη c στον τόπο D . Τότε η $f(z)$ είναι αναλυτική στον τόπο D .

Απόδειξη. Όπως γίνεται η απόδειξη και για το πραγματικό επικαμπύλιο ολοκλήρωμα αποδεικνύεται ότι το $\int_{z_0}^z f(z) dz$ είναι ανεξάρτητο του δρόμου ολοκλήρωσης στο D . Σύμφωνα με το Θεώρημα 3 της Παραγάραφου 7 υπάρχει συνάρτηση $F(z)$ τέτοια ώστε $F'(z)=f(z)$ σ' ολόκληρο το D . Επομένως η $F(z)$ είναι αναλυτική συνάρτηση και η $f(z)$, ως παράγωγος μιας αναλυτικής συνάρτησης, είναι αναλυτική στον D , σύμφωνα με το Θεώρημα 2.

Το Θεώρημα 3 είναι γνωστό ως Θεώρημα του Morera και μπορεί να θεωρηθεί ως το αντίστροφο του ολοκληρωτικού θεωρήματος των Cauchy-Goursat.

1. Το
τη συνάρτηση
από τα άλλα

2. Για
 $=u(x, y)-v(x, y)$
ρωσης, θέση
 $x=x(y)$ στο ολοκλήρωμα
ληλα τα

3. Αναλυτικότητα
χρησιμοποιείται

και για την

4. Αναλυτικότητα

όπου z_1 είναι
5. Οι
πάνω σε
 $f(z)$ είναι

6. Η
για το διάστημα

ΠΕΡΙΛΗΨΗ

1. Το επικαμπύλιο ολοκλήρωμα $\int_C f(z) dz$ εξαρτάται γενικά από

τη συνάρτηση $f(z)$ από το δρόμο $C=C(t)$ τη φορά διαγραφής αυτού και από τα άκρα του.

2. Για τον υπολογισμό του επικαμπύλιου ολοκληρώματος, αν $f(z)=u(x, y)+iv(x, y)$, $z=x+iy$ και $y=y(x)$ είναι ο λείος δρόμος ολοκλήρωσης, θέτουμε $y=y(x)$ και $dy=y'(x) dx$, στο ολοκλήρωμα. Ομοίως αν $x=x(y)$ ο λείος δρόμος ολοκλήρωσης, θέτουμε $x=x(y)$ και $dx=x'(y) dy$ στο ολοκλήρωμα. Και στις δύο περιπτώσεις θέτουμε αντίστοιχα κατάληλα τα όρια για το x ή το y .

3. Αν ο δρόμος ολοκλήρωσης είναι ο $C(t)=x(t)+iy(t)$, $t \in [a, \beta]$, χρησιμοποιούμε τον τύπο

$$\int_C f(z) dz = \int_a^\beta f[C(t)] c'(t) dt$$

και για το απόλυτο ολοκλήρωμα τον τύπο

$$\int_C |f(z)| |dz| = \int_a^\beta |f[c(t)]| |c'(t)| dt .$$

4. Αν υπάρχει μιγαδική συνάρτηση $F(z)$ τέτοια ώστε $F'(z)=f(z)$, τότε

$$\int_C f(z) dz = [F(z)]_{z=z_1}^{z=z_2} = F(z_2) - F(z_1)$$

όπου z_1, z_2 είναι τα άκρα του λείου δρόμου ολοκλήρωσης.

5. (Ολοκληρωτικό θεώρημα των Cauchy-Goursat). Το ολοκλήρωμα πάνω σε λεία απλή κλειστή καμπύλη C μέσα σε ένα τόπο D όπου η $f(z)$ είναι αναλυτική, είναι μηδέν, δηλαδή

$$\oint_C f(z) dz = 0 .$$

6. (Θεμελιώδης τύπος του Cauchy). Με τις προηγούμενες υποθέσεις για το δρόμο ολοκλήρωσης και τη συνάρτηση $f(z)$

$$f(z_0) = \frac{1}{2\pi i} \int_C \frac{f(z)}{z - z_0} dz, \quad f^{(n)}(z_0) = \frac{n!}{2\pi i} \int_C \frac{f(z)}{(z - z_0)^{n+1}} dz.$$

(b) το ε
(Απ. (c))

Άσκησεις

1. Υπολογίστε τα επικαμπύλια ολοκληρώματα $\int_C dz$, $\int_C |dz|$, όπου C ο μοναδιαίος κύκλος με κέντρο την αρχή.
(Απ. 0, 2π)

8. Ε
ημικύκλια
(Απ. $\frac{\pi}{2}$)

2. Υπολογίστε το $\int_C \frac{1}{z} dz$, όπου C ο κύκλος $|z|=1$.
(Απ. $2\pi i$)

9. Υ
ναι
(a) το ε
(b) το δ
ημικύκλια
(c) η πα
(d) ο κύ
(e) η έλ
(Απ. (a))

3. Υπολογίστε το $\int_C \operatorname{Re} z dz$ κατά μήκος
(a) του ευθύγραμμου τμήματος από το 0 στο $1+i$,
(b) της γωνίας από το 0 στο 1 και μετά στο $1+i$.

(Απ. $\frac{1+i}{2}, \frac{1}{2}+i$)

10.

4. Να δειχθεί ότι $\left| \int_C f(z) dz \right| \leq \int_C |f(z)| |dz|$.

$|z-2| =$
(Απ. $2\pi i$)

5. Να βρεθεί ένα ανώτερο φράγμα της $\left| \int_C \log(z+1) dz \right|$, όπου C είναι το ευθύγραμμο τμήμα από i έως $2+i$.

(Απ. $2(\log \sqrt{10} + \frac{\pi}{4})$)

δρόμος
(Απ. i)

6. Να υπολογιστούν τα ολοκληρώματα $\int_C dz$, $\int_C |dz|$, όπου C είναι η περίμετρος του τετραγώνου: $-1 \leq x \leq 1$, $-1 \leq y \leq 1$.
(Απ. 0.8)

11.

7. Υπολογίστε το επικαμπύλιο ολοκλήρωμα $\int_C |z|^2 dz$, όπου C ο παραβαλλητικός διάνυσμας $y = x^2$ από το $(1, 1)$ στο $(2, 4)$

όπου C
 $\forall t \in [0, 1]$
(Απ. 4, -1)

$$f(z_0) = \frac{1}{2\pi i} \int_C \frac{f(z)}{z-z_0} dz, \quad f^{(n)}(z_0) = \frac{n!}{2\pi i} \int_C \frac{f(z)}{(z-z_0)^{n+1}} dz.$$

Ασκήσεις

1. Υπολογίστε τα επικεφτόμενα ολοκληρώματα $\int_C dz, \int_C |dz|, \delta$.

που c ο μοναδιάριος κύκλος με κέντρο την αρχή.
(Απ. 0, 2π)

2. Υπολογίστε το $\int_C \frac{1}{z} dz$, όπου c ο κύκλος $|z|=1$.
(Απ. 2πi)

3. Υπολογίστε το $\int_C \operatorname{Re} z dz$ κατά μήκος

(a) του ευθύγραμμου τμήματος από το 0 στο $1+i$,

(b) της γραμμής από το 0 στο 1 και μετά στο $1+i$.
(Απ. $\frac{1+i}{2}, \frac{1}{2}+i$)

4. Να δειχθεί ότι $\left| \int_C f(z) dz \right| \leq \int_C |f(z)| |dz|$.

5. Να θρεψετε ένα ανότερο φράγμα της $\left| \int_C \log(z+1) dz \right|$, όπου c είναι το ευθύγραμμο τμήμα από i έως $2+i$.
(Απ. $2(\log \sqrt{10} + \frac{\pi}{4})$)

6. Να υπολογιστούν τα ολοκληρώματα $\int_C dz, \int_C |dz|$, όπου c είναι η περίμετρος του τετραγώνου: $-1 \leq x \leq 1, -1 \leq y \leq 1$.
(Απ. 0,8)

7. Υπολογίστε το επικεφτόμενο ολοκλήρωμα $\int_C |z|^2 dz$, όπου c
(a) η κυμπόλη $y=x^2$ από το (1, 1) στο (2, 4)

- (b) το ευθύγραμμο τμήμα που ενώνει τα δύο προηγούμενα σημεία.
(Απ. (a) $\frac{128}{15} + i \frac{57}{2}$, (b) $\frac{28}{3} (1+3i)$)

8. Βρείτε ένα ανώτερο φράγμα του $\left| \int_C z^2 dz \right|$ όπου c το τόξο του

- ημικύκλου $|z|=1$, που ενώνει το (1, 0) με το (0, 1).
(Απ. $\frac{\pi}{2}$)

9. Υπολογίστε το επικεφτόμενο ολοκληρώμα $\int_C \operatorname{Re} z dz$ όπου c είναι

ναι
(a) το ευθύγραμμο τμήμα από το 0 στο i,
(b) το δεξιό τόξο του κύκλου $|z-\frac{i}{2}|=\frac{1}{2}$ από το 0 στο i, στο δεξιό

μημοκέλο,
(c) η παραβολή $y=2x^2+1$ από το (1, 3) στο (2, 9),
(d) ο κύκλος $|z|=7$ κατά τη θετική φορά,
(e) η έλλειψη $4x^2+y^2=4$ κατά τη θετική φορά.
(Απ. (a) 0, (b) $\frac{\pi}{8} i$, (c) $\frac{3}{2} + \frac{28}{3} i$, (d) $49\pi i$, (e) $2\pi i$)

10. Υπολογίστε το $\int_C \left(\frac{1}{z-2} + \frac{1}{(z-2)^2} \right) dz$, όπου c ο κύκλος

$|z-2|=3$, που να διαγράφεται μια φορά κατά τη θετική φορά.
(Απ. 2πi)

11. Να υπολογιστεί η τιμή του ολοκληρώματος $\int_{-1-i}^{1+i} zdz$, όπου c ο

δρόμος που ορίζεται από την απεικόνιση $\varphi(t) = |t| + it^3, \forall t \in [-1, 1]$.
(Απ. i)

12. Να υπολογιστούν τα ολοκληρώματα

$$\int_1^{-1} |z^2-1| |dz|, \quad \int_1^{-1} (z-1) |dz|,$$

όπου c ο δρόμος που ορίζεται από την απεικόνιση $\varphi(t) = \cos t + i \sin t, \forall t \in [0, \pi]$.
(Απ. 4, $-\pi+2i$)

13. Να υπολογιστεί το $\int_C z^2 dz$, όπου ε η καμπύλη $z(t) = \eta \mu^2 \pi t + t + i \sin 2\pi t$ από $t=0$ έως $t=\frac{1}{2}$.

$$\left(\text{Α.π. } -\frac{2+i}{3} \right)$$

14. Να υπολογιστεί το $\int_C \eta \mu z dz$, όπου ε η παραβολή $y=x^2$ από $z=0$ έως $z=1+i$.

(Α.π. $i - \operatorname{cav}(\operatorname{ch} 1 + i \operatorname{tanh} 1)$)

$$15. \text{ Να υπολογιστεί το } \int_{-1}^1 z e^{iz} dz.$$

(Α.π. $2e^{-1}$)

16. Να υπολογιστούν τα ολοκληρώματα

(a) $\oint_C e^z dz$, ε η περιμετρος του μοναδιού τετραγώνου με κέντρο την αρχή,

(b) $\oint_C \frac{1}{z^2} dz$, ε ο μοναδιος κύκλος,

(c) $\oint_C \frac{dz}{z}$, ε ο κύκλος $c(\theta) = 3 + e^{i\theta}$, $0 \leq \theta \leq 2\pi$,

(d) $\int_C z^2 dz$, ε το ευθύγραμμο τμήμα που ενώνει το $1+i$ με το i .

$$\left(\text{Α.π. (a) } 0, \text{ (b) } 0, \text{ (c) } 0, \text{ (d) } \frac{10}{3} - \frac{2i}{3} \right)$$

17. Να υπολογιστεί το $\oint_C \frac{1}{z} dz$, όπου ε ο σουδήποτε κλειστή καμπύλη που περικλείει την αρχή.

$$18. \text{ Να υπολογιστεί το } \oint_C \frac{2z-1}{z^2-z} dz,$$

(a) γύρω από κλειστή καμπύλη που περικλείει τα σημεία 0 και 1,

(b) γύρω από τον κύκλο $|z| = \frac{1}{2}$.

(Α.π. (a) $4\pi i$, (b) $2\pi i$)

$$19. \text{ Να υπολογιστεί το } \oint_C \frac{z^2+1}{z^2-1} dz, \text{ όπου ε σήνα:}$$

(a) $|z-1|=1$, (b) $|z-\frac{1}{2}|=1$, (c) $|z+1|=1$, (d) $|z-i|=1$.

(Α.π. (a) $2\pi i$, (b) $2\pi i$, (c) $-2\pi i$, (d) 0)

$$20. \text{ Να υπολογιστεί το } \oint_C \frac{z^4+1}{(2z+1)^3} dz, \text{ ε ο κύκλος } |z|=1.$$

(Α.π. $3\pi i$)

21. Να υπολογιστεί το $\oint_C \frac{z+2}{z+2} dz$, όπου ε σήνα:

(a) $|z|=\frac{1}{2}$, (b) $|z-1|=3$, (c) $|z-i|=\frac{1}{2}$, (d) $|z-i|=\frac{1}{2}$.

(Α.π. (a) $4\pi i$, (b) $2\pi i$, (c) 0, (d) 0)

22. Υπολογιστεί τα επόμενα ολοκληρώματα πάνω στον κύκλο $|z|=1$ κατά τη θετική φορά.

$$(a) \oint_C \frac{e^z}{z} dz, \quad (b) \oint_C \frac{e^{z-1}}{z} dz, \quad (c) \oint_C \frac{\cos z}{z} dz,$$

$$(d) \oint_C \frac{z^2-1}{z^2+2} dz, \quad (e) \oint_C \frac{-z^3}{z-\frac{1}{2}} dz, \quad (f) \oint_C \frac{\cos z}{z^2} dz,$$

$$(g) \oint_C \frac{\cos z}{z^3} dz, \quad (h) \oint_C \frac{z^8+1}{(z-\frac{1}{2})^7} dz, \quad (i) \oint_C \frac{e^z}{z^3} dz, \quad (j) \oint_C \frac{\sin z}{z^4} dz$$

(Α.π.: (a) $2\pi i$, (b) 0, (c) $2\pi i$, (d) 0, (e) $\frac{\pi}{4} i$, (f) 0, (g) 0, (h) $14\pi i$, (i) $\frac{\pi}{3} i$, (j) $-\frac{\pi}{3} i$)

23. Δώστε ένα παράδειγμα συνάρτησης πραγματικής μεταβλητής που η παράγωγος $f'(x_0)$ να υπέρχει, αλλά η f' να μην είναι συνεχής στο